

OS. 6221. 3. 2021. MB WB
30.04.21
alp

OS / H

SP/760/4/2021/JF **W P Ł Y N Ę Ł O**
STAROSTWO POWIATOWE W CHOSZCZYNIE
ul. Nadbrzeźna 2, 73-200 Choszczno
KANCELARIA OGÓLNA

Gdynia, 23.04.2021 r.

29.04.2021

Starostwo Powiatowe w Choszczynie
Wydział Ochrony Środowiska, Rolnictwa i
Leśnictwa
ul. Nadbrzeźna 2
73-200 Choszczno

Skierowano
L.dz. 5782/156

PROWADZACY INSTALACJE: Polkomtel Infrastruktura Sp. z o.o., ul. Konstruktorska 4, 02-673 Warszawa

DOTYCZY: Stacji bazowej telefonii komórkowej **BT43680 PELCZYCE**
Zlokalizowanej pod adresem: dz. nr 346, obręb 0009 Pełczyce, gmina Pełczyce,
powiat choszczeński, woj. zachodniopomorskie

Działając w imieniu inwestora w trybie art. 152 ust. 6 pkt. 1 ustawy z dnia 27 kwietnia 2001r. Prawo Ochrony Środowiska (tekst jedn.: Dz. U. z 2020 r. poz. 1219) informuję o zmianie danych zawartych w zgłoszeniu instalacji stacji bazowej telefonii komórkowej BT43680 PELCZYCE zlokalizowanej pod adresem dz. nr 346, obręb 0009 Pełczyce, gmina Pełczyce, powiat choszczeński, woj. zachodniopomorskie.

Informuje, przedmiotowa zmiana danych instalacji nie jest zmianą istotną, zgodnie z art. 3 pkt 7 ustawy Prawo Ochrony Środowiska (Dz.U.2020.1219 t.j. z dnia 2020.07.09).

Z poważaniem

Joanna Norek
Joanna Norek

Adres korespondencyjny:

Joanna Norek
Axians Networks Poland Sp. z o.o.
Ul. Rdestowa 51; 81-577 Gdynia
Tel. 662 124 580
joanna.norek@axians.com

W załączeniu:

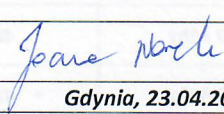
- 1) Upoważnienie inwestora
- 2) Sprawozdanie z pomiarów pól elektromagnetycznych dla celów ochrony ludności i środowiska
- 3) Formularz zgłoszenia instalacji

FORMULARZ ZMIANY DANYCH W ZGŁOSZENIU INSTALACJI WYTWARZAJĄCYCH POLA ELEKTROMAGNETYCZNE

I. Wypełnia podmiot prowadzący instalację dokonujący jej zgłoszenia

1. Nazwa i adres organu ochrony środowiska właściwego do przyjęcia zgłoszenia
**Starostwo Powiatowe w Choszcznie
Wydział Ochrony Środowiska, Rolnictwa i Leśnictwa
ul. Nadbrzeżna 2
73-200 Choszczno**
2. Nazwa instalacji zgodna z nazewnictwem stosowanym przez prowadzącego instalację
stacja bazowa BT43680 PELCZYCE (ext. 21)
3. Określenie nazw jednostek terytorialnych (gmin, powiatów i województw), na których terenie znajduje się instalacja, wraz z podaniem symboli KTS¹ jednostek terytorialnych, na których terenie znajduje się instalacja
**KTS1 1002000000000 PÓŁNOCNO-ZACHODNI
KTS2 10023200000000 Zachodniopomorskie
KTS3 10023210000000 Zachodniopomorskie
KTS4 10023216400000 Szczecińsko-pyrzycki
KTS5 10023216402000 choszczeński
KTS6 10023216402055 Pełczyce**
4. Oznaczenie prowadzącego instalację, jego adres zamieszkania lub siedziby
Prowadzący instalację: Polkomtel Infrastruktura Sp. z o.o., ul. Konstruktorska 4, 02-673 Warszawa;
5. Adres zakładu, na którego terenie prowadzona jest eksploatacja instalacji
dz. nr 346, obręb 0009 Pełczyce gmina Pełczyce; powiat choszczeński; województwo zachodniopomorskie
6. Rodzaj instalacji, zgodnie z załącznikiem nr 2 do rozporządzenia Ministra Środowiska z dnia 2 lipca 2010 r. w sprawie zgłoszenia instalacji wytwarzających pola elektromagnetyczne (Dz. U. Nr 130, poz. 879)
instalacje radiokomunikacyjne, których równoważna moc promieniowania izotropowo wynosi nie mniej niż 15W, emitujące pola elektromagnetyczne o częstotliwościach od 30 kHz do 300 GHz
7. Rodzaj i zakres prowadzonej działalności, w tym wielkość produkcji lub wielkość świadczonych usług
działalność w zakresie telekomunikacji przewodowej i bezprzewodowej.
8. Czas funkcjonowania instalacji (dni tygodnia i godziny)
7 dni w tygodniu, 24 godziny na dobę
9. Wielkość i rodzaj emisji²⁾
**sumaryczna moc EIRP anten sektorowych 187373 W
sumaryczna moc EIRP anten radioliniowych 24066 W**
10. Opis stosowanych metod ograniczania emisji
Parametry stacji bazowej zostały tak dobrane, aby ponadnormatywny poziom pola elektromagnetycznego nie występował w miejscach dostępnych dla ludności.
11. Informacja, czy stopień ograniczania wielkości emisji jest zgodny z obowiązującymi przepisami
W miejscach dostępnych dla ludności poziom pola elektromagnetycznego nie przekracza wartości ponadnormatywnych.
12. Szczegółowe dane, odpowiednio do rodzaju instalacji, zgodne z wymaganiami określonymi w załączniku nr 2 do rozporządzenia:

1) współrzędne geograficzne anten	2) częstotliwość pracy	3) wysokości środków elektrycznych anten nad poziomem terenu	4) EIRP - równoważna moc promieniowana izotropowo	5) zakresy azymutów i kątów pochylecia osi głównych wiązek promieniowania
53-02-08.38N 15-18-51.01E	2600 Mhz	48,35 m	5772 W	Azymut 350° Pochylenie 2°-8°
53-02-08.38N 15-18-51.01E	2600 Mhz	48,35 m	5772 W	Azymut 170° Pochylenie 2°-8°
53-02-08.38N 15-18-51.01E	900 Mhz	69,40 m	12775 W	Azymut 290° Pochylenie 0°-8°
53-02-08.38N 15-18-51.01E	1800 Mhz	48,35 m	5228 W	Azymut 120° Pochylenie 2°-8°
53-02-08.38N 15-18-51.01E	1800 Mhz	48,35 m	3475 W	Azymut 210° Pochylenie 0°-6°
53-02-08.38N 15-18-51.01E	1800 Mhz	48,35 m	6470 W	Azymut 300° Pochylenie 0°-6°
53-02-08.38N 15-18-51.01E	900 Mhz	69,40 m	6859 W	Azymut 50° Pochylenie 0°-8°
53-02-08.38N 15-18-51.01E	900 Mhz	58,20 m	12775 W	Azymut 115° Pochylenie 0°-8°
53-02-08.38N 15-18-51.01E	900 Mhz	69,40 m	12775 W	Azymut 170° Pochylenie 0°-8°
53-02-08.38N	900 Mhz	58,20 m	12775 W	Azymut 235°

15-18-51.01E				Pochylenie 0°-8°
53-02-08.38N	900 Mhz	69,40 m	12775 W	Azymut 345°
15-18-51.01E				Pochylenie 0°-8°
53-02-08.38N	1800 Mhz	66,70 m	5537 W	Azymut 50°
15-18-51.01E	2600 Mhz		7075 W	Pochylenie 0°-6°
53-02-08.38N	2600 Mhz	48,35 m	5772 W	Azymut 110°
15-18-51.01E				Pochylenie 2°-8°
53-02-08.38N	2600 Mhz	48,35 m	5772 W	Azymut 235°
15-18-51.01E				Pochylenie 2°-8°
53-02-08.38N	2600 Mhz	48,35 m	5772 W	Azymut 290°
15-18-51.01E				Pochylenie 2°-8°
53-02-08.38N	2600 Mhz	44 m	19998 W	Azymut 100°
15-18-51.01E				Pochylenie 1°-8°
53-02-08.38N	2600 Mhz	44 m	19998 W	Azymut 220°
15-18-51.01E				Pochylenie 1°-8°
53-02-08.38N	2600 Mhz	44 m	19998 W	Azymut 340°
15-18-51.01E				Pochylenie 1°-8°
53-02-08.38N	18 GHz D2	52,00 m	1230,27 W	Azymut 65°
15-18-51.01E				
53-02-08.38N	13 GHz	63,30 m	3981,07 W	Azymut 84°
15-18-51.01E				
53-02-08.38N	13 GHz	69,30 m	1000,00 W	Azymut 88°
15-18-51.01E				
53-02-08.38N	23 GHz	55,00 m	1148,15 W	Azymut 115°
15-18-51.01E	80 GHz		3388,44 W	
53-02-08.38N	13 GHz	52,20 m	1513,56 W	Azymut 206°
15-18-51.01E				
53-02-08.38N	23 GHz	53,00 m	660,69 W	Azymut 243°
15-18-51.01E				
53-02-08.38N	13 GHz	52,20 m	1584,89 W	Azymut 333°
15-18-51.01E				
53-02-08.38N	23 GHz	58,20 m	1479,11 W	Azymut 348°
15-18-51.01E				
53-02-08.38N	80 GHz	58,00 m	7079,46 W	Azymut 348°
15-18-51.01E				
53-02-08.38N	13 GHz	34,10 m	1000,00 W	Azymut 356°
15-18-51.01E				
6) Na podstawie wykonanej analizy stwierdza się, że w odległościach od anten sektorowych, określonych zgodnie z Rozporządzeniem Rady Ministrów z dnia 10 września 2019 r. w sprawie przedsięwzięć mogących znacząco oddziaływać na środowisko (Dz.U z 2019 r. poz. 1839), wzdłuż osi głównych wiązek promieniowania tych anten, nie występują miejsca dostępne dla ludności				
7) Sprawozdanie z pomiarów poziomów pól elektromagnetycznych – załącznik nr 2				
13. Miejscowość, data (rok - miesiąc - dzień):				
Imię i nazwisko osoby reprezentującej prowadzącą instalację				
				
Podpis		Gdynia, 23.04.2021 r.		
II. Wypełnia organ ochrony środowiska przyjmujący zgłoszenie				
Data zarejestrowania zgłoszenia		Numer zgłoszenia		
.....			

Objaśnienia:

- 1) System Kodowania Jednostek Terytorialnych i Statystycznych (KTS) wprowadzony Zarządzeniem wewnętrznym nr 22 Prezesa Głównego Urzędu Statystycznego z dnia 24 sierpnia 2017 r. w sprawie wprowadzenia Systemu Kodowania Jednostek Terytorialnych i Statystycznych
- 2) W przypadku stacji elektroenergetycznych i napowietrznych linii elektroenergetycznych - napięcie znamionowe, a w przypadku pozostałych instalacji - równoważne moce promieniowane izotropowo (EIRP) poszczególnych anten.
- 3) Liczba porządkowa zgodna z numeracją punktów w odpowiednich do rodzaju instalacji ustępach załącznika nr 2 do rozporządzenia.



Laboratorium EMVO Sp. J. Urbański, Pawelak

ul. Jasna 1
00-013 Warszawa

tel. +48 22 780 29 64
e-mail: laboratorium@emvo.pl



AB 1630

Sprawozdanie z pomiarów pól elektromagnetycznych - środowisko ogólne nr 09/04/OŚ/2021-ELT



Nr i nazwa stacji	BT43680 PELCZYCE	
Adres	Pełczyce, dz. nr 346, gm. Pełczyce, pow. choszczeński, woj. zachodniopomorskie	
Opracowanie	Wiesław Laskowski	Specjalista ds. pomiarów
Autoryzacja	Andrzej Urbański	Kierownik Laboratorium
Podpis	Podpis jest prawidłowy Dokument podpisany przez Andrzej Urbański Data: 2021.04.13 20:36:55 CES Powód: Zatwierdzam dokument	
Data	2021-04-12	

Spis treści

1. Informacje ogólne.	3
2. Podstawa prawna.	3
3. Opis pomiarów	3
4. Zróżnicowanie dopuszczalne poziomy pól elektromagnetycznych.....	4
5. Charakterystyka źródeł PEM.....	5
6. Wyniki pomiarów.	6
7. Stwierdzenie zgodności.....	10
8. Oświadczenie.....	10
9. Spis załączników.	10

1. Informacje ogólne.

Zleceniodawca	Axians Networks Poland Sp. z o.o., ul. Żupnicza 17, 03-821 Warszawa osoba udzielająca informacji – Piotr Miliszkiewicz
Istotne informacje dostarczone przez klienta	komplet informacji niezbędnych do wykonania pomiarów i opracowania sprawozdania
Dane otrzymane od klienta mogące mieć wpływ na ważność wyników	dane anten sektorowych, dane anten radioliniowych, parametry pracy instalacji, poprawka pomiarowa
Prowadzący instalację	Polkomtel Infrastruktura sp. z o.o., ul. Konstruktorska 4, 02-673 Warszawa
Lokalizacja obiektu	Pełczyce, dz. nr 346, gm. Pełczyce, pow. choszczeński, woj. zachodniopomorskie
Miejsce instalacji anten	wieża kratowa
Miejsce instalacji urządzeń	kontener
Osoby wykonujące pomiar	Piotr Kujaszewski - pomiarowiec
Data wykonania pomiaru	2021-04-12
Temperatura na początku pomiaru [°C]	4
Temperatura na koniec pomiaru [°C]	6
Warunki atmosferyczne	brak opadów
Wilgotność na początku pomiaru [%]	71
Wilgotność na koniec pomiaru [%]	68
Inne źródła pól elektromagnetycznych	występują
Tryb pracy urządzeń	eksploatacyjny

2. Podstawa prawna.

2.1 Normy i rozporządzenia:

- Rozporządzeniem Ministra Klimatu z dnia 17 lutego 2020 r. w sprawie sposobów sprawdzania dotrzymania dopuszczalnych poziomów pól elektromagnetycznych w środowisku (Dz.U. 2020 poz. 258)
- Rozporządzenie Ministra Zdrowia z dnia 17 grudnia 2019 r. w sprawie dopuszczalnych poziomów pól elektromagnetycznych w środowisku (Dz.U. 2019 poz. 2448)
- Obwieszczenie Marszałka Sejmu Rzeczypospolitej Polskiej z dnia 19 lipca 2019 r. w sprawie ogłoszenia jednolitego tekstu ustawy - Prawo ochrony środowiska (Dz.U. 2019 poz. 1396).

3. Opis pomiarów

Metodologia pomiarowa	Pomiary w oparciu o Rozporządzeniem Ministra Klimatu z dnia 17 lutego 2020 r. w sprawie sposobów sprawdzania dotrzymania dopuszczalnych poziomów pól elektromagnetycznych w środowisku (Dz.U. 2020 poz. 258), Dokument PCA DAB-18 „Program akredytacji laboratoriów badawczych wykonujących pomiary pola elektromagnetycznego w środowisku” wyd. 1, Warszawa, 02.02.2017 r.
Cel badań	Określenie wartości natężenia pola elektrycznego w miejscach dostępnych dla ludności.

Opis zestawu pomiarowego	<p>Miernik Narda NBM 520, Sonda EF 9091, o zakresie pomiarowym 0,7 V/m - 400V/m pracująca w paśmie 0,1 – 90 GHz, świadectwo wydane przez Laboratorium Wzorców i Metrologii Pola Elektromagnetycznego, Instytut Telekomunikacji, Teleinformatyki i Akustyki Politechniki Wrocławskiej. Świadectwo ważne do 15.07.2021r.</p> <p>Miernik Narda NBM 520, Sonda EF 9091 pracująca w zakresie temperatury -10°C - +50°C oraz wilgotności 5% - 95%.</p> <p>Niepewność rozszerzona 59% przy poziomie ufności 95% z uwzględnieniem współczynnika rozszerzenia k=2.</p>
Wyposażenie pomocnicze	<p>Termohigrometr Termoprodukt, typ: Termik+, nr identyfikacyjny 700618, świadectwo wzorcowania nr 1763/AH/19 z dn. 29.07.2019 r. wydane przez Laboratorium Pomiarowe "MUTECH".</p> <p>Przymiar wstępowy STABILA, nr identyfikacyjny 31WL, świadectwo wzorcowania nr 6W1/1826/19 z dn. 02.08.2019 r. wydane przez Dyrektora Okręgowego Urzędu Miar w Gdańsku.</p> <p>GPS Garmin 64s okresowo sprawdzany w punktach osnowy geodezyjnej klasy 3 na podstawie licencji punktu, zgodnie z procedurą sprawdzeń okresowych IS/PO16-11/03.</p>
Pomiary zostały wykonane	<ol style="list-style-type: none"> na głównych i pomocniczych kierunkach pomiarowych, na kierunkach zbliżonych do azymutów anten oraz w dodatkowych pionach pomiarowych zgodnie z wymaganiami pkt 12, 13, 14 i 19 załącznika do rozporządzenia Ministra Klimatu z dnia 17 lutego 2020 r. (Dz. U. 2020, poz. 258), na obszarze pomiarowym, dla którego, na podstawie uprzednio wykonanych obliczeń uzyskanych od zleceniodawcy, stwierdzono możliwość występowania pól elektromagnetycznych o poziomach zbliżonych do poziomów dopuszczalnych zgodnie z wymaganiami pkt 5 ppkt 2 oraz pkt 13 ppkt 1 załącznika do rozporządzenia Ministra Klimatu z dnia 17 lutego 2020 r. (Dz. U. 2020, poz. 258). Wyniki obliczeń nie uwzględniały parametrów pracy instalacji innych operatorów występujących na obiekcie bądź w obszarze pomiarowym. w miejscach dostępnych dla ludności. miejsca niedostępne podczas wykonywania pomiarów wskazane zostały w pkt 6 (tabeli wyniki pomiarów) wyniki pomiarów uzyskane zostały przy uwzględnieniu poprawek pomiarowych przekazanych przez zleceniodawcę oraz przy rzeczywistych warunkach pracy instalacji innych operatorów (w przypadku występowania). W takiej sytuacji uwzględniono jednolitą poprawkę pomiarową wynoszącą 2.
Szczególne warunki podczas wykonywania pomiarów	<p>Pomiary wykonane zostały podczas obowiązywania w kraju stanu epidemii, zgodnie z art. 122a ust. 1b Ustawy z dnia 27 kwietnia 2001 r. – Prawo ochrony środowiska (Dz. U. z 2019 r. poz. 1396, z późn. zm.9))</p>
Warunki pracy urzędów nadawczych	<p>Podczas pomiarów zostały uwzględnione poprawki pomiarowe przekazane przez zleceniodawcę, umożliwiające uwzględnienie maksymalnych parametrów pracy instalacji zgodnie z pkt 7 załącznika do Rozporządzeniem Ministra Klimatu z dnia 17 lutego 2020 r. w sprawie sposobów sprawdzania dotrzymania dopuszczalnych poziomów pól elektromagnetycznych w środowisku (Dz. U. 2020, poz. 258).</p>

4. Zróżnicowanie dopuszczalne poziomy pól elektromagnetycznych.

Zakresy znajdują się w Dzienniku Ustaw z dnia 17 grudnia 2019 r. przedstawione są w tabeli nr 2 (Dz. U. z 2019 r. poz. 2448).

Zakres częstotliwości pola elektromagnetycznego	Parametr fizyczny		
	Składowa elektryczna E (V/m)	Składowa magnetyczna H (A/m)	Gęstość mocy S (W/m ²)
od 400 MHz do 2000 MHz	$1,375 \times f^{0,5}$	$0,0037 \times f^{0,5}$	f / 200
od 2 GHz do 300 GHz	61	0,16	10

5. Charakterystyka źródeł PEM.

Zgodnie z informacją otrzymaną od klienta pomiary zostały wykonane przy ustawieniach pochylenia anten zgodnych z pkt. 13, ppkt 2 załącznika do rozporządzenia Ministra Klimatu z dnia 17 lutego 2020 roku.

Tabela 1. Anteny sektorowe - dane otrzymane od klienta

Typ anteny	Współrzędne geograficzne	Azymut [°]	Wysokość zawieszenia anten (środek elektr. anteny) n.p.t. [m]	Pasma częstotliwości	Zakres pochylenia elektrycznego [°]	Średnie pochylenie anten (ustawione do pomiarów PEM) [°]	Pochylenie mechaniczne [°]	EIRP [W]	EIRP (suma) [W]
A264521R2V06	53°02'10.06"N 15°18'48.95"E	350	48,35	2600	2-8	5	0	5772	5772
A264521R2V06	53°02'10.06"N 15°18'48.95"E	170	48,35	2600	2-8	4	0	5772	5772
A704521R0V06	53°02'10.06"N 15°18'48.95"E	290	69,4	900	0-8	4	0	12775	12775
A264521R2V06	53°02'10.06"N 15°18'48.95"E	120	48,35	1800	2-8	5	0	5228	5228
741990V01	53°02'10.06"N 15°18'48.95"E	210	48,35	1800	0-6	3	0	3475	3475
80010378	53°02'10.06"N 15°18'48.95"E	300	48,35	1800	0-6	3	0	6470	6470
A794517R0V06	53°02'10.06"N 15°18'48.95"E	50	69,4	900	0-8	3	0	6859	6859
A704521R0V06	53°02'10.06"N 15°18'48.95"E	115	58,2	900	0-8	4	0	12775	12775
A704521R0V06	53°02'10.06"N 15°18'48.95"E	170	69,4	900	0-8	4	0	12775	12775
A704521R0V06	53°02'10.06"N 15°18'48.95"E	235	58,2	900	0-8	4	0	12775	12775
A704521R0V06	53°02'10.06"N 15°18'48.95"E	345	69,4	900	0-8	4	0	12775	12775
ADU4521R0V06	53°02'10.06"N 15°18'48.95"E	50	66,7	1800/ 2600	0-6/ 0-6	3	0	5537/ 7075	12612
A264521R2V06	53°02'10.06"N 15°18'48.95"E	110	48,35	2600	2-8	5	0	5772	5772
A264521R2V06	53°02'10.06"N 15°18'48.95"E	235	48,35	2600	2-8	4	0	5772	5772
A264521R2V06	53°02'10.06"N 15°18'48.95"E	290	48,35	2600	2-8	4	0	5772	5772
120125	53°02'10.06"N 15°18'48.95"E	100	44	2600	1-8	4,5	0	19998	19998
120125	53°02'10.06"N 15°18'48.95"E	220	44	2600	1-8	4,5	0	19998	19998
120125	53°02'10.06"N 15°18'48.95"E	340	44	2600	1-8	4,5	0	19998	19998

Tabela 2. Anteny radioliniowe - dane otrzymane od klienta

Typ anteny	Współrzędne geograficzne	Azymut [°]	Średnica [m]	Pasma częstotliwości [GHz]	Zysk energetyczny [dBi]	Moc wyjściowa nadajnika [dBm]	EIRP [W]	Wysokość zawieszenia (środek elektryczny anteny) n.p.t. [m]
UKY 220 44/SC15	53°02'10.06"N 15°18'48.95"E	64,99	0,60	18	38,90	22,00	1230,3	52,00
UKY 210 41/DC15	53°02'10.06"N 15°18'48.95"E	84,05	1,20	13	42,00	24,00	3981,1	63,30
UKY 220 42/SC15	53°02'10.06"N 15°18'48.95"E	88,24	0,60	13	36,00	24,00	1000,0	69,30
ANT2/2B0.623 /80HP/HP	53°02'10.06"N 15°18'48.95"E	115,24	0,60	23	39,60	21,00	1148,2	55,00
		115,24	0,60	80	49,30	16,00	3388,4	55,00
UKY 210 41/SC15D	53°02'10.06"N 15°18'48.95"E	206,33	1,20	13	41,80	20,00	1513,6	52,20
VHLPX2-23	53°02'10.06"N 15°18'48.95"E	242,90	0,60	23	40,20	18,00	660,7	53,00
UKY 210 41/DC15	53°02'10.06"N 15°18'48.95"E	332,70	1,20	13	42,00	20,00	1584,9	52,20

„Bez pisemnej zgody Laboratorium niniejsze sprawozdanie nie może być powielane inaczej, jak tylko w całości. Ponadto wyniki dotyczą tylko badanych obiektów przywołanych w niniejszym sprawozdaniu z badań”

Typ anteny	Współrzędne geograficzne	Azymut [°]	Średnica [m]	Pasma częstotliwości [GHz]	Zysk energetyczny [dBi]	Moc wyjściowa nadajnika [dBm]	EIRP [W]	Wysokość zawieszenia (środek elektryczny anteny) n.p.t. [m]
UKY 210 44/SC15	53°02'10.06"N 15°18'48.95"E	347,55	1,20	23	46,70	15,00	1479,1	58,20
UKY 230 42/14H	53°02'10.06"N 15°18'48.95"E	347,55	0,60	80	50,50	18,00	7079,5	58,00
UKY 220 42/SC15	53°02'10.06"N 15°18'48.95"E	355,88	0,60	13	36,00	24,00	1000,0	34,10

6. Wyniki pomiarów.

Wyniki pomiarów pól elektromagnetycznych dla celów ochrony środowiska przedstawia poniższa tabela. Piony pomiarowe zostały przedstawione w zał. 2.

Nr PP	Pole-E [V/m]	Pole-E * _{k_E+U} [V/m]	Pole-H [A/m]	Pole-H * _{k_E+U} [A/m]	Wysokość pomiaru [m]	Współrzędne PP x, y	Opis PP	WM _E	WM _H
1	< 0,7*	< 2,23	< 0,002	< 0,006	0,3 - 2,0	N:53°02'10.25" E:15°18'54.53"	otoczenie stacji bazowej - 100m wzdłuż gł. osi promieniowania - GKP	< 0,057	< 0,056
2	< 0,7*	< 2,23	< 0,002	< 0,006	0,3 - 2,0	N:53°02'12.75" E:15°18'59.36"	otoczenie stacji bazowej - 200m wzdłuż gł. osi promieniowania - GKP	< 0,057	< 0,056
3	< 0,7*	< 2,23	< 0,002	< 0,006	0,3 - 2,0	N:53°02'14.78" E:15°19'04.02"	otoczenie stacji bazowej - 300m wzdłuż gł. osi promieniowania - GKP	< 0,057	< 0,056
4	< 0,7*	< 2,23	< 0,002	< 0,006	0,3 - 2,0	N:53°02'16.88" E:15°18'06.83"	otoczenie stacji bazowej - 400m wzdłuż gł. osi promieniowania - GKP	< 0,057	< 0,056
5	< 0,7*	< 2,23	< 0,002	< 0,006	0,3 - 2,0	N:53°02'19.36" E:15°19'10.74"	otoczenie stacji bazowej - 500m wzdłuż gł. osi promieniowania - GKP	< 0,057	< 0,056
6	< 0,7*	< 1,64	< 0,002	< 0,004	0,3 - 2,0	N:53°02'21.34" E:15°19'13.77"	otoczenie stacji bazowej - 600m wzdłuż gł. osi promieniowania - GKP	< 0,042	< 0,041
7	< 0,7*	< 1,64	< 0,002	< 0,004	0,3 - 2,0	N:53°02'23.36" E:15°19'18.00"	otoczenie stacji bazowej - 695m wzdłuż gł. osi promieniowania - GKP	< 0,057	< 0,056
8	< 0,7*	< 2,23	< 0,002	< 0,006	0,3 - 2,0	N:53°02'07.09" E:15°18'57.71"	otoczenie stacji bazowej - 100m wzdłuż gł. osi promieniowania - GKP	< 0,057	< 0,056
9	< 0,7*	< 2,23	< 0,002	< 0,006	0,3 - 2,0	N:53°02'06.05" E:15°19'02.78"	otoczenie stacji bazowej - 200m wzdłuż gł. osi promieniowania - GKP	< 0,057	< 0,056
10	< 0,7*	< 2,23	< 0,002	< 0,006	0,3 - 2,0	N:53°02'04.95" E:15°19'08.84"	otoczenie stacji bazowej - 300m wzdłuż gł. osi promieniowania - GKP	< 0,057	< 0,056
11	< 0,7*	< 2,23	< 0,002	< 0,006	0,3 - 2,0	N:53°02'04.63" E:15°18'12.42"	otoczenie stacji bazowej - 400m wzdłuż gł. osi promieniowania - GKP	< 0,057	< 0,056
12	< 0,7*	< 1,64	< 0,002	< 0,004	0,3 - 2,0	N:53°02'04.12" E:15°19'18.08"	otoczenie stacji bazowej - 500m wzdłuż gł. osi promieniowania - GKP	< 0,057	< 0,056
13	< 0,7*	< 1,64	< 0,002	< 0,004	0,3 - 2,0	N:53°02'02.99" E:15°19'23.15"	otoczenie stacji bazowej - 600m wzdłuż gł. osi promieniowania - GKP	< 0,057	< 0,056
14	< 0,7*	< 1,64	< 0,002	< 0,004	0,3 - 2,0	N:53°02'02.39" E:15°18'27.18"	otoczenie stacji bazowej - 695m wzdłuż gł. osi promieniowania - GKP	< 0,057	< 0,056
15	< 0,7*	< 2,23	< 0,002	< 0,006	0,3 - 2,0	N:53°02'03.67" E:15°19'10.51"	otoczenie stacji bazowej - 400m wzdłuż gł. osi promieniowania - GKP	< 0,057	< 0,056
16	< 0,7*	< 1,64	< 0,002	< 0,004	0,3 - 2,0	N:53°02'02.34" E:15°19'17.24"	otoczenie stacji bazowej - 500m wzdłuż gł. osi promieniowania - GKP	< 0,057	< 0,056
17	< 0,7*	< 1,64	< 0,002	< 0,004	0,3 - 2,0	N:53°02'01.32" E:15°19'21.73"	otoczenie stacji bazowej - 600m wzdłuż gł. osi promieniowania - GKP	< 0,057	< 0,056
18	< 0,7*	< 1,64	< 0,002	< 0,004	0,3 - 2,0	N:53°01'59.84" E:15°19'26.48"	otoczenie stacji bazowej - 695m wzdłuż gł. osi promieniowania - GKP	< 0,057	< 0,056
19	< 0,7*	< 2,23	< 0,002	< 0,006	0,3 - 2,0	N:53°02'05.27" E:15°19'01.21"	otoczenie stacji bazowej - 200m wzdłuż gł. osi promieniowania - GKP	< 0,057	< 0,056
20	< 0,7*	< 2,23	< 0,002	< 0,006	0,3 - 2,0	N:53°02'03.70" E:15°19'05.75"	otoczenie stacji bazowej - 300m wzdłuż gł. osi promieniowania - GKP	< 0,057	< 0,056

„Bez pisemnej zgody Laboratorium niniejsze sprawozdanie nie może być powielane inaczej, jak tylko w całości. Ponadto wyniki dotyczą tylko badanych obiektów przywołanych w niniejszym sprawozdaniu z badań”

Nr PP	Pole-E [V/m]	Pole-E *k _{E+U} [V/m]	Pole-H [A/m]	Pole-H * k _{E+U} [A/m]	Wysokość pomiaru [m]	Współrzędne PP x, y	Opis PP	WM _E	WM _H
21	< 0,7*	< 2,23	< 0,002	< 0,006	0,3 - 2,0	N:53°02'02.44" E:15°19'10.63"	otoczenie stacji bazowej - 400m wzdłuż gł. osi promieniowania - GKP	< 0,057	< 0,056
22	< 0,7*	< 1,64	< 0,002	< 0,004	0,3 - 2,0	N:53°02'01.12" E:15°19'15.21"	otoczenie stacji bazowej - 500m wzdłuż gł. osi promieniowania - GKP	< 0,057	< 0,056
23	< 0,7*	< 1,64	< 0,002	< 0,004	0,3 - 2,0	N:53°01'59.74" E:15°19'20.51"	otoczenie stacji bazowej - 600m wzdłuż gł. osi promieniowania - GKP	< 0,057	< 0,056
24	< 0,7*	< 1,64	< 0,002	< 0,004	0,3 - 2,0	N:53°01'58.72" E:15°19'23.66"	otoczenie stacji bazowej - 695m wzdłuż gł. osi promieniowania - GKP	< 0,057	< 0,056
25	< 0,7*	< 2,23	< 0,002	< 0,006	0,3 - 2,0	N:53°02'04.46" E:15°18'52.96"	otoczenie stacji bazowej - 100m wzdłuż gł. osi promieniowania - GKP	< 0,057	< 0,056
26	< 0,7*	< 2,23	< 0,002	< 0,006	0,3 - 2,0	N:53°02'01.61" E:15°18'53.70"	otoczenie stacji bazowej - 200m wzdłuż gł. osi promieniowania - GKP	< 0,057	< 0,056
27	< 0,7*	< 2,23	< 0,002	< 0,006	0,3 - 2,0	N:53°01'57.60" E:15°18'55.61"	otoczenie stacji bazowej - 300m wzdłuż gł. osi promieniowania - GKP	< 0,057	< 0,056
28	< 0,7*	< 2,23	< 0,002	< 0,006	0,3 - 2,0	N:53°01'54.65" E:15°18'56.07"	otoczenie stacji bazowej - 400m wzdłuż gł. osi promieniowania - GKP	< 0,057	< 0,056
29	< 0,7*	< 1,64	< 0,002	< 0,004	0,3 - 2,0	N:53°01'51.88" E:15°18'57.87"	otoczenie stacji bazowej - 500m wzdłuż gł. osi promieniowania - GKP	< 0,057	< 0,056
30	< 0,7*	< 1,64	< 0,002	< 0,004	0,3 - 2,0	N:53°01'48.78" E:15°18'58.63"	otoczenie stacji bazowej - 600m wzdłuż gł. osi promieniowania - GKP	< 0,057	< 0,056
31	< 0,7*	< 1,64	< 0,002	< 0,004	0,3 - 2,0	N:53°01'45.87" E:15°19'00.23"	otoczenie stacji bazowej - 695m wzdłuż gł. osi promieniowania - GKP	< 0,057	< 0,056
32	< 0,7*	< 2,23	< 0,002	< 0,006	0,3 - 2,0	N:53°02'04.88" E:15°18'48.80"	otoczenie stacji bazowej - 100m wzdłuż gł. osi promieniowania - GKP	< 0,057	< 0,056
33	< 0,7*	< 2,23	< 0,002	< 0,006	0,3 - 2,0	N:53°02'02.71" E:15°18'48.43"	otoczenie stacji bazowej - 200m wzdłuż gł. osi promieniowania - GKP	< 0,057	< 0,056
34	< 0,7*	< 2,23	< 0,002	< 0,006	0,3 - 2,0	N:53°01'59.89" E:15°18'44.04"	otoczenie stacji bazowej - 300m wzdłuż gł. osi promieniowania - GKP	< 0,057	< 0,056
35	< 0,7*	< 2,23	< 0,002	< 0,006	0,3 - 2,0	N:53°01'56.36" E:15°18'40.64"	otoczenie stacji bazowej - 400m wzdłuż gł. osi promieniowania - GKP	< 0,057	< 0,056
36	< 0,7*	< 1,64	< 0,002	< 0,004	0,3 - 2,0	N:53°01'53.90" E:15°18'38.58"	otoczenie stacji bazowej - 500m wzdłuż gł. osi promieniowania - GKP	< 0,057	< 0,056
37	< 0,7*	< 1,64	< 0,002	< 0,004	0,3 - 2,0	N:53°01'50.89" E:15°18'35.71"	otoczenie stacji bazowej - 600m wzdłuż gł. osi promieniowania - GKP	< 0,057	< 0,056
38	< 0,7*	< 1,64	< 0,002	< 0,004	0,3 - 2,0	N:53°01'49.02" E:15°18'33.38"	otoczenie stacji bazowej - 695m wzdłuż gł. osi promieniowania - GKP	< 0,057	< 0,056
39	< 0,7*	< 2,23	< 0,002	< 0,006	0,3 - 2,0	N:53°02'05.91" E:15°18'47.29"	otoczenie stacji bazowej - 100m wzdłuż gł. osi promieniowania - GKP	< 0,057	< 0,056
40	< 0,7*	< 2,23	< 0,002	< 0,006	0,3 - 2,0	N:53°02'03.29" E:15°18'42.89"	otoczenie stacji bazowej - 200m wzdłuż gł. osi promieniowania - GKP	< 0,057	< 0,056
41	< 0,7*	< 2,23	< 0,002	< 0,006	0,3 - 2,0	N:53°02'00.76" E:15°18'38.84"	otoczenie stacji bazowej - 300m wzdłuż gł. osi promieniowania - GKP	< 0,057	< 0,056
42	< 0,7*	< 2,23	< 0,002	< 0,006	0,3 - 2,0	N:53°01'59.33" E:15°18'35.63"	otoczenie stacji bazowej - 400m wzdłuż gł. osi promieniowania - GKP	< 0,057	< 0,056
43	< 0,7*	< 2,23	< 0,002	< 0,006	0,3 - 2,0	N:53°01'56.94" E:15°18'31.71"	otoczenie stacji bazowej - 500m wzdłuż gł. osi promieniowania - GKP	< 0,057	< 0,056
44	< 0,7*	< 2,23	< 0,002	< 0,006	0,3 - 2,0	N:53°01'54.85" E:15°18'27.91"	otoczenie stacji bazowej - 600m wzdłuż gł. osi promieniowania - GKP	< 0,057	< 0,056
45	< 0,7*	< 2,23	< 0,002	< 0,006	0,3 - 2,0	N:53°01'53.00" E:15°18'24.87"	otoczenie stacji bazowej - 695m wzdłuż gł. osi promieniowania - GKP	< 0,057	< 0,056
46	< 0,7*	< 2,23	< 0,002	< 0,006	0,3 - 2,0	N:53°02'08.85" E:15°18'45.25"	otoczenie stacji bazowej - 100m wzdłuż gł. osi promieniowania - GKP	< 0,057	< 0,056
47	< 0,7*	< 2,23	< 0,002	< 0,006	0,3 - 2,0	N:53°02'09.23" E:15°18'41.43"	otoczenie stacji bazowej - 200m wzdłuż gł. osi promieniowania - GKP	< 0,057	< 0,056
48	< 0,7*	< 2,23	< 0,002	< 0,006	0,3 - 2,0	N:53°02'10.30" E:15°18'36.96"	otoczenie stacji bazowej - 300m wzdłuż gł. osi promieniowania - GKP	< 0,057	< 0,056

Nr PP	Pole-E [V/m]	Pole-E *k _E +U [V/m]	Pole-H [A/m]	Pole-H * k _E +U [A/m]	Wysokość pomiaru [m]	Współrzędne PP x, y	Opis PP	WM _E	WM _H
49	< 0,7*	< 2,23	< 0,002	< 0,006	0,3 - 2,0	N:53°02'11.19" E:15°18'30.99"	otoczenie stacji bazowej - 400m wzdłuż gł. osi promieniowania - GKP	< 0,057	< 0,056
50	< 0,7*	< 2,23	< 0,002	< 0,006	0,3 - 2,0	N:53°02'12.31" E:15°18'25.70"	otoczenie stacji bazowej - 500m wzdłuż gł. osi promieniowania - GKP	< 0,057	< 0,056
51	< 0,7*	< 2,23	< 0,002	< 0,006	0,3 - 2,0	N:53°02'13.48" E:15°18'19.27"	otoczenie stacji bazowej - 600m wzdłuż gł. osi promieniowania - GKP	< 0,057	< 0,056
52	< 0,7*	< 1,64	< 0,002	< 0,004	0,3 - 2,0	N:53°02'14.15" E:15°18'16.16"	otoczenie stacji bazowej - 695m wzdłuż gł. osi promieniowania - GKP	< 0,057	< 0,056
53	< 0,7*	< 2,23	< 0,002	< 0,006	0,3 - 2,0	N:53°02'11.24" E:15°18'42.36"	otoczenie stacji bazowej - 200m wzdłuż gł. osi promieniowania - GKP	< 0,057	< 0,056
54	< 0,7*	< 2,23	< 0,002	< 0,006	0,3 - 2,0	N:53°02'12.90" E:15°18'37.81"	otoczenie stacji bazowej - 300m wzdłuż gł. osi promieniowania - GKP	< 0,057	< 0,056
55	< 0,7*	< 2,23	< 0,002	< 0,006	0,3 - 2,0	N:53°02'14.12" E:15°18'33.08"	otoczenie stacji bazowej - 400m wzdłuż gł. osi promieniowania - GKP	< 0,057	< 0,056
56	< 0,7*	< 2,23	< 0,002	< 0,006	0,3 - 2,0	N:53°02'16.76" E:15°18'24.11"	otoczenie stacji bazowej - 600m wzdłuż gł. osi promieniowania - GKP	< 0,057	< 0,056
57	< 0,7*	< 1,64	< 0,002	< 0,004	0,3 - 2,0	N:53°02'18.55" E:15°18'19.84"	otoczenie stacji bazowej - 695m wzdłuż gł. osi promieniowania - GKP	< 0,057	< 0,056
58	< 0,7*	< 2,23	< 0,002	< 0,006	0,3 - 2,0	N:53°02'11.19" E:15°18'48.97"	otoczenie stacji bazowej - 100m wzdłuż gł. osi promieniowania - GKP	< 0,057	< 0,056
59	< 0,7*	< 2,23	< 0,002	< 0,006	0,3 - 2,0	N:53°02'14.33" E:15°18'47.99"	otoczenie stacji bazowej - 200m wzdłuż gł. osi promieniowania - GKP	< 0,057	< 0,056
60	< 0,7*	< 2,23	< 0,002	< 0,006	0,3 - 2,0	N:53°02'17.24" E:15°18'46.61"	otoczenie stacji bazowej - 300m wzdłuż gł. osi promieniowania - GKP	< 0,057	< 0,056
61	< 0,7*	< 2,23	< 0,002	< 0,006	0,3 - 2,0	N:53°02'20.20" E:15°18'44.92"	otoczenie stacji bazowej - 400m wzdłuż gł. osi promieniowania - GKP	< 0,057	< 0,056
62	< 0,7*	< 2,23	< 0,002	< 0,006	0,3 - 2,0	N:53°02'24.25" E:15°18'43.09"	otoczenie stacji bazowej - 500m wzdłuż gł. osi promieniowania - GKP	< 0,057	< 0,056
63	< 0,7*	< 2,23	< 0,002	< 0,006	0,3 - 2,0	N:53°02'26.96" E:15°18'42.08"	otoczenie stacji bazowej - 600m wzdłuż gł. osi promieniowania - GKP	< 0,057	< 0,056
64	< 0,7*	< 1,64	< 0,002	< 0,004	0,3 - 2,0	N:53°02'29.28" E:15°18'40.89"	otoczenie stacji bazowej - 695m wzdłuż gł. osi promieniowania - GKP	< 0,057	< 0,056
65	< 0,7*	< 2,23	< 0,002	< 0,006	0,3 - 2,0	N:53°02'20.30" E:15°18'47.13"	otoczenie stacji bazowej - 400m wzdłuż gł. osi promieniowania - GKP	< 0,057	< 0,056
66	< 0,7*	< 2,23	< 0,002	< 0,006	0,3 - 2,0	N:53°02'24.33" E:15°18'45.72"	otoczenie stacji bazowej - 500m wzdłuż gł. osi promieniowania - GKP	< 0,057	< 0,056
67	< 0,7*	< 2,23	< 0,002	< 0,006	0,3 - 2,0	N:53°02'27.34" E:15°18'44.68"	otoczenie stacji bazowej - 600m wzdłuż gł. osi promieniowania - GKP	< 0,057	< 0,056
68	< 0,7*	< 1,64	< 0,002	< 0,004	0,3 - 2,0	N:53°02'29.46" E:15°18'43.86"	otoczenie stacji bazowej - 695m wzdłuż gł. osi promieniowania - GKP	< 0,057	< 0,056
69	< 0,7*	< 2,23	< 0,002	< 0,006	0,3 - 2,0	N:53°02'10.04" E:15°18'56.11"	otoczenie stacji bazowej - 100m wzdłuż gł. osi promieniowania - GKP	< 0,057	< 0,056
70	< 0,7*	< 2,23	< 0,002	< 0,006	0,3 - 2,0	N:53°02'08.23" E:15°18'57.19"	otoczenie stacji bazowej - 100m wzdłuż gł. osi promieniowania - GKP	< 0,057	< 0,056
71	< 0,7*	< 2,23	< 0,002	< 0,006	0,3 - 2,0	N:53°02'06.84" E:15°18'48.28"	otoczenie stacji bazowej - 50m wzdłuż gł. osi promieniowania - GKP	< 0,057	< 0,056
72	< 0,7*	< 2,23	< 0,002	< 0,006	0,3 - 2,0	N:53°02'10.14" E:15°18'49.63"	otoczenie stacji bazowej - 50m wzdłuż gł. osi promieniowania - GKP	< 0,057	< 0,056
73	< 0,7*	< 2,23	< 0,002	< 0,006	0,3 - 2,0	N:53°02'07.87" E:15°18'56.43"	otoczenie stacji bazowej - 100m wzdłuż gł. osi promieniowania - GKP	< 0,057	< 0,056
74	< 0,7*	< 2,23	< 0,002	< 0,006	0,3 - 2,0	N:53°02'07.42" E:15°19'01.78"	otoczenie stacji bazowej - 200m wzdłuż gł. osi promieniowania - GKP	< 0,057	< 0,056
75	< 0,7*	< 2,23	< 0,002	< 0,006	0,3 - 2,0	N:53°02'06.92" E:15°19'07.17"	otoczenie stacji bazowej - 300m wzdłuż gł. osi promieniowania - GKP	< 0,057	< 0,056
76	< 0,7*	< 2,23	< 0,002	< 0,006	0,3 - 2,0	N:53°02'06.50" E:15°19'12.44"	otoczenie stacji bazowej - 400m wzdłuż gł. osi promieniowania - GKP	< 0,057	< 0,056

Nr PP	Pole-E [V/m]	Pole-E *k _E +U [V/m]	Pole-H [A/m]	Pole-H * k _E +U [A/m]	Wysokość pomiaru [m]	Współrzędne PP x , y	Opis PP	WM _E	WM _H
77	< 0,7*	< 1,64	< 0,002	< 0,004	0,3 - 2,0	N:53°02'06.03" E:15°19'17.60"	otoczenie stacji bazowej - 500m wzdłuż gł. osi promieniowania - GKP	< 0,057	< 0,056
78	< 0,7*	< 2,23	< 0,002	< 0,006	0,3 - 2,0	N:53°02'03.13" E:15°18'44.69"	otoczenie stacji bazowej - 200m wzdłuż gł. osi promieniowania - GKP	< 0,057	< 0,056
79	< 0,7*	< 2,23	< 0,002	< 0,006	0,3 - 2,0	N:53°02'00.57" E:15°18'41.52"	otoczenie stacji bazowej - 300m wzdłuż gł. osi promieniowania - GKP	< 0,057	< 0,056
80	< 0,7*	< 2,23	< 0,002	< 0,006	0,3 - 2,0	N:53°01'57.96" E:15°18'38.25"	otoczenie stacji bazowej - 400m wzdłuż gł. osi promieniowania - GKP	< 0,057	< 0,056
81	< 0,7*	< 1,64	< 0,002	< 0,004	0,3 - 2,0	N:53°01'55.41" E:15°18'35.09"	otoczenie stacji bazowej - 500m wzdłuż gł. osi promieniowania - GKP	< 0,057	< 0,056
82	< 0,7*	< 2,23	< 0,002	< 0,006	0,3 - 2,0	N:53°02'14.36" E:15°18'47.51"	otoczenie stacji bazowej - 200m wzdłuż gł. osi promieniowania - GKP	< 0,057	< 0,056
83	< 0,7*	< 2,23	< 0,002	< 0,006	0,3 - 2,0	N:53°02'17.42" E:15°18'43.66"	otoczenie stacji bazowej - 300m wzdłuż gł. osi promieniowania - GKP	< 0,057	< 0,056
84	< 0,7*	< 2,23	< 0,002	< 0,006	0,3 - 2,0	N:53°02'20.45" E:15°18'43.81"	otoczenie stacji bazowej - 400m wzdłuż gł. osi promieniowania - GKP	< 0,057	< 0,056
85	< 0,7*	< 2,23	< 0,002	< 0,006	0,3 - 2,0	N:53°02'23.53" E:15°18'41.98"	otoczenie stacji bazowej - 500m wzdłuż gł. osi promieniowania - GKP	< 0,057	< 0,056
86	< 0,7*	< 2,23	< 0,002	< 0,006	0,3 - 2,0	N:53°02'11.37" E:15°18'53.51"	otoczenie stacji bazowej - PKP	< 0,057	< 0,056
87	< 0,7*	< 2,23	< 0,002	< 0,006	0,3 - 2,0	N:53°02'04.31" E:15°18'56.46"	otoczenie stacji bazowej - PKP	< 0,057	< 0,056
88	< 0,7*	< 1,64	< 0,002	< 0,004	0,3 - 2,0	N:53°02'07.04" E:15°18'42.43"	otoczenie stacji bazowej - PKP	< 0,057	< 0,056
A	< 0,7*	< 2,23	< 0,002	< 0,006	0,3 - 2,0	N:53°02'07.93" E:15°18'53.01"	Pełczyk 10, pomiar przed budynkiem -DPP	< 0,057	< 0,056
B	< 0,7*	< 2,23	< 0,002	< 0,006	0,3 - 2,0	N:53°02'12.23" E:15°18'43.80"	Pełczyk 10a, pomiar przed budynkiem -DPP	< 0,057	< 0,056
C	< 0,7*	< 2,23	< 0,002	< 0,006	0,3 - 2,0	N:53°02'18.21" E:15°18'37.71"	Aleja Wolności 6, pomiar przed budynkiem -DPP	< 0,057	< 0,056
D	< 0,7*	< 2,23	< 0,002	< 0,006	0,3 - 2,0	N:53°02'21.25" E:15°19'10.30"	Kościuszki 25, pomiar przed budynkiem -DPP	< 0,057	< 0,056
E	Brak dostępu – pomieszczenia gospodarcze								

Wynik pomiaru pole - E [V/m] - maksymalna wartość chwilowa zmierzona w danych pionie pomiarowym.

Przyjęto najniższą dopuszczalną wartość składowej elektrycznej pola dla objętego pomiarami zakresu częstotliwości min(MEgr)= 38,8 V/m oraz składowej magnetycznej min(MHgr)= 0,105 A/m.

* - poniżej czułości zestawu pomiarowego

GKP - główne kierunki pomiarowe

PKP - pomocnicze kierunki pomiarowe

DPP - dodatkowe punkty pomiarowe

PP - pion pomiarowy

U - niepewność rozszerzona wynosi 59% przy poziomie ufności 95% z uwzględnieniem współczynnika rozszerzenia k=2.

k_E - poprawka pomiarowa badanej instalacji radiokomunikacyjnej podana przez operatora (k_E=1,47),
poprawka pomiarowa w przypadku oddziaływania innych instalacji radiokomunikacyjnych na badany obszar (k_E=2,0)

WM_E - wartość wskaźnikowa poziomu emisji pól elektromagnetycznych dla miejsc dostępnych dla ludności dla składowej elektrycznej pola

WM_H - wartość wskaźnikowa poziomu emisji pól elektromagnetycznych dla miejsc dostępnych dla ludności dla składowej magnetycznej pola

7. Stwierdzenie zgodności

Na podstawie wytycznych podanych w Rozporządzeniu Ministra Zdrowia z dnia 17 grudnia 2019 r. w sprawie dopuszczalnych poziomów pól elektromagnetycznych w środowisku (Dz.U. 2019 poz. 2448) oraz sposobów sprawdzania dotrzymania tych poziomów zgodnie z Rozporządzeniem Ministra Klimatu z dnia 17 lutego 2020 r. w sprawie sposobów sprawdzania dotrzymania dopuszczalnych poziomów pól elektromagnetycznych w środowisku (Dz.U. 2020 poz. 258) dotyczących źródła wymagań, które muszą być spełnione (załącznik do rozporządzenia Ministra Klimatu z dnia 17 lutego 2020 r. (poz. 258)), w oparciu o zasadę podejmowania decyzji zgodną z pkt 26 załącznika do rozporządzenia Ministra Klimatu z dnia 17 lutego 2020 r. (poz. 258), na podstawie wyników pomiarów pól elektromagnetycznych wykonanych w dniu 12.04.2021 stwierdzono, iż w miejscach dostępnych dla ludności, dopuszczalne poziomy pól elektromagnetycznych w środowisku, określone w przepisach wydanych na podstawie art. 122 ust. 1 ustawy z dnia 27 kwietnia 2001 r. – Prawo ochrony środowiska, uznaje się za dotrzymane w obszarze pomiarowym, w którym w wyniku zastosowania sposobu sprawdzenia dotrzymania dopuszczalnych poziomów pól elektromagnetycznych w środowisku, udokumentowano, że żadna z wartości wskaźnikowych nie przekracza wartości 1.

8. Oświadczenie.

Wyniki badania odnoszą się wyłącznie do badanego obiektu.

Bez pisemnej zgody sprawozdanie nie może być powielane inaczej, jak tylko w całości.

Uwagi i zastrzeżenia przyjmowane są w formie pisemnej w ciągu 14 dni od daty otrzymania sprawozdania.

9. Spis załączników.

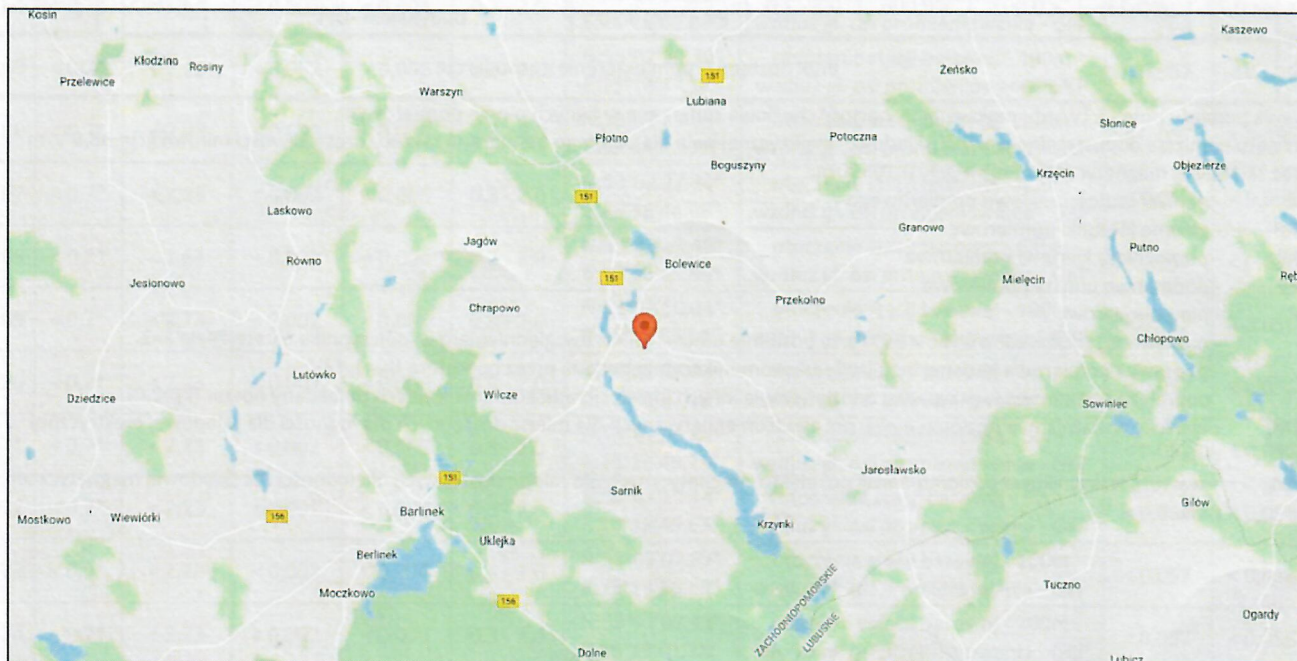
Załącznik 1. Lokalizacja obiektu.

Załącznik 2. Widok pionów pomiarowych

Załącznik 3. Widok stacji bazowej

Koniec sprawozdania

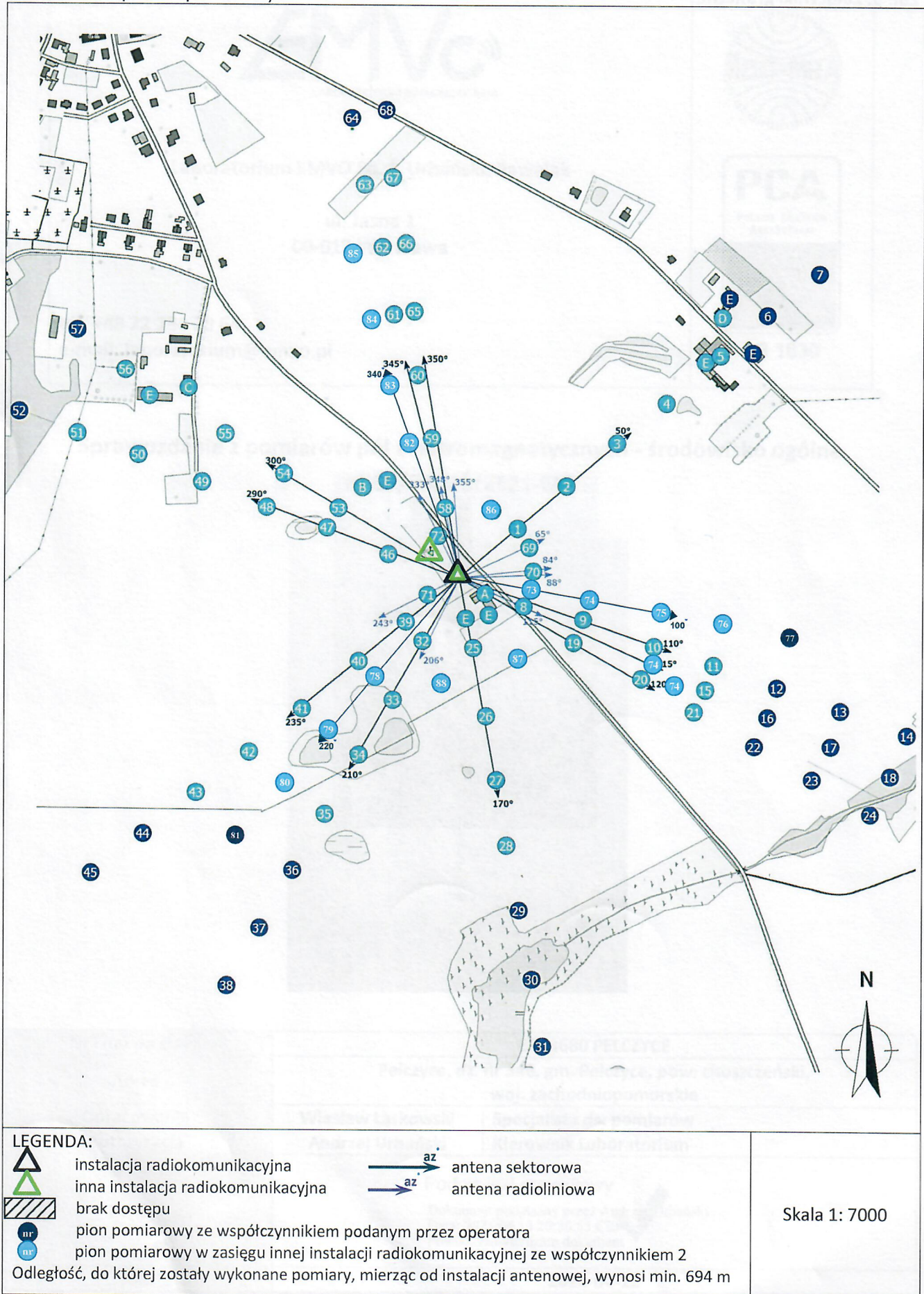
Załącznik 1. Lokalizacja obiektu



Współrzędne geograficzne	
długość:	15°18'48.95"E
szerokość:	53°02'10.06"N

„Bez pisemnej zgody Laboratorium niniejsze sprawozdanie nie może być powielane inaczej, jak tylko w całości. Ponadto wyniki dotyczą tylko badanych obiektów przywołanych w niniejszym sprawozdaniu z badań”

Załącznik 2. Widok pionów pomiarowych



Załącznik 3. Załączniki graficzne

